

УДК 621.833

## ГЕОМЕТРИЧЕСКИЕ И КОНСТРУКТИВНЫЕ СООТНОШЕНИЯ В ВОЛНОВЫХ ПЕРЕДАЧАХ С ПРОМЕЖУТОЧНЫМИ ТЕЛАМИ КАЧЕНИЯ

В.С. Янгулов

Томский политехнический университет  
E-mail: dtps@lcg.tpu.ru

Представлена методика расчёта геометрических и конструктивных соотношений волновых передач с промежуточными телами качения. Предложена методика геометрического расчёта передач с адаптивным генератором и определено влияние погрешностей изготовления деталей на выходную функцию.

Создание волновых передач с промежуточными телами качения (ВППТК), в которых создается упругий натяг в зонах контакта тел качения (далее по тексту – шарики) с поверхностями генератора, обоймы и зубьями жесткого колеса [1–3], позволяет:

- практически устранить мёртвый ход передач;
- повысить точность передач;
- обеспечить работоспособность передач на длительный ресурс.

В данных передачах генератор, наружная поверхность которого выполнена конусной под действием упругих элементов в процессе работы, совершает радиальные и осевые перемещения, обусловленные зазорами в зонах контакта промежуточных тел качения с пазами обоймы и зубьями жесткого колеса и погрешностями изготовления этих деталей. Очевидно, что необходимо проведение дополнительных исследований по определению изменений геометрических и конструктивных соотношений в ВППТК с упругим натягом в зацеплении.

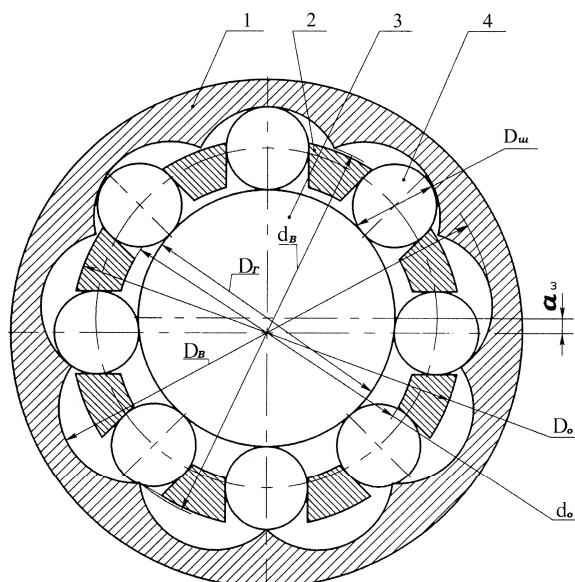


Рис. 1. Волновая передача с промежуточными телами качения:  $D_{ш}$  – диаметр шарика;  $D_{в}$  – диаметр впадин зубчатого венца;  $d_{в}$  – диаметр выступов зубчатого венца;  $D_o$  – наружный диаметр обоймы;  $d_o$  – внутренний диаметр обоймы;  $D_r$  – диаметр генератора;  $a_3$  – эксцентриситет генератора

Основой рассматриваемых передач является конструкция, представленная на рис. 1. Генератор волн, эксцентрик – 3, вращаясь, вызывает радиальные перемещения шариков – 4 в пазах обоймы – 2. Шарик – 4 контактирует с поверхностями зубьев жесткого колеса – 1. Разность числа шариков и зубьев жесткого колеса обычно при эксцентриковом генераторе, равная единице, обеспечивает редукцию движения выходного звена передачи. Выходным звеном могут быть обойма с шариками или жесткое колесо при фиксации одного из них относительно корпуса. Геометрические соотношения в данной передаче описываются с использованием заменяющего аксиального кривошипно-шатунного механизма (рис. 2). Ведущим кривошипом является эксцентрик генератора. Длина ведущего эксцентрика равна величине эксцентриситета  $a_w$ . Линия, соединяющая центры шариков  $O_{ш}$  и эксцентрика  $O_r$ , заменяет шатун. Назовём длину этой линии приведённым радиусом генератора  $R_g$ , очевидно, что линия проходит через точку контакта шарика с генератором, тогда  $R_g = 0,5(D_r + D_{ш})$ , где  $D_r$ ,  $D_{ш}$  – диаметры генератора и шарика.

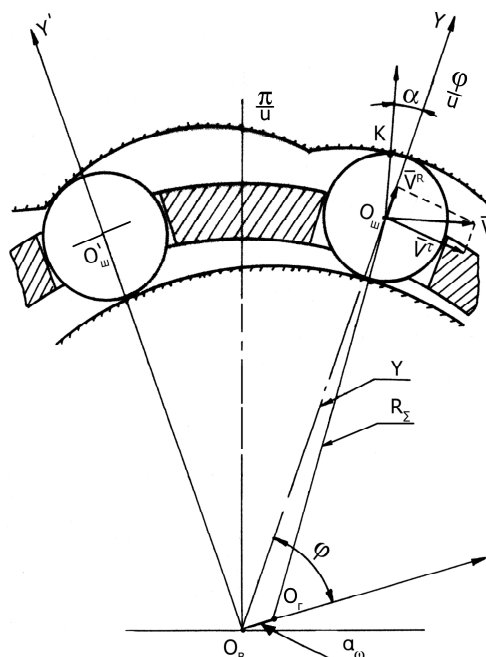


Рис. 2. Схема кривошипно-шатунного механизма, заменяющего ВППТК

Пазы обоймы, направляющие для шариков, выполнены радиальными, поэтому считаем, что центры шариков движутся по оси пазов. Обозначив  $Y$  расстояние от центра шарика  $O_{\text{ш}}$  до центра зубчатого венца жесткого колеса  $O_{\text{в}}$ , рис. 2, получаем выражение

$$Y = a_{\omega} \cos \varphi + \sqrt{R_{\Sigma}^2 - a_{\omega}^2 \sin^2 \varphi}, \quad (1)$$

где  $\varphi$  – текущий угол поворота входного звена.

Соотношение (1) определяет положение центра шарика. Для получения уравнений профиля зубьев жесткого колеса перейдем в систему координат, жестко связанную с вращающимся венцом. Венец вращается в  $u$  раз медленнее генератора, где  $u$  – число зубьев венца и передаточное число передачи (если  $Z$  – число шариков, то  $u=Z+1$ ), и переход осуществляется поворотом системы координат на угол  $\varphi/u$ . В новой системе координат центр шарика  $O_{\text{ш}}$  опишет центровой профиль. Профиль зуба опишет точка  $K$  на шарике. Отрезок  $O_{\text{ш}}K$  перпендикулярен касательной к профилю зуба, и угол  $\alpha$  является углом передачи движения профилю. Чтобы его определить, учтём, что скорость движения центра шарика  $V$  относительно венца имеет две составляющие: радиальную  $V^R$ , определить которую можно, проинтегрировав (1) по  $\varphi$  с учётом того, что её производная по времени есть постоянная угловая скорость  $\omega$  вращения входного звена

$$V^R = -\frac{a_{\omega} \sin \varphi}{\sqrt{R_{\Sigma}^2 - a_{\omega}^2 \sin^2 \varphi}}$$

и тангенциальная составляющая  $V^{\tau}$ , возникающая из-за вращения венца жесткого колеса и равная  $Y\omega/u$ . Поскольку скорость шарика направлена по касательной к профилю, то  $\alpha$  определится следующим выражением

$$\operatorname{tg} \alpha = \frac{V^R}{V^{\tau}} = \frac{ua_{\omega} \sin \varphi}{\sqrt{R_{\Sigma}^2 - a_{\omega}^2 \sin^2 \varphi}}.$$

Параметрические уравнения профиля зуба

$$X_n = Y \sin \frac{\varphi}{u} + 0,5D_{\text{ш}} \sin \left( \alpha + \frac{\varphi}{u} \right); \quad (2)$$

$$Y_n = Y \cos \frac{\varphi}{u} + 0,5D_{\text{ш}} \cos \left( \alpha + \frac{\varphi}{u} \right). \quad (3)$$

Важным кинематическим параметром передачи является коэффициент перекрытия, длина рабочего участка линии зацепления. Зацепление шарика с профилем кончается в точке пересечения его с соседним профилем. Координаты точки пересечения двух соседних профилей определяются из трансцендентного уравнения

$$X_n = \operatorname{tg} \frac{\pi}{u} Y_n. \quad (4)$$

Угол  $\varphi_1$  соответствует концу линии зацепления и определяется из уравнения (4). Начало зацепления определяется из известного условия – движение не передается, если угол передачи движения

меньше угла трения. Угол  $\varphi_0$ , соответствующий началу зацепления, находится из соотношения (1)

$$\varphi_0 = \arcsin \left( \frac{fR_{\Sigma}}{a_{\omega} \sqrt{u^2 + f^2}} \right),$$

где  $f$  – приведённый коэффициент трения.

Значение  $a_{\omega}$  в [4] рекомендуется принимать равным  $0,25D_{\text{ш}}$ , что принимается и для данных передач. Для зубчатого венца жесткого колеса диаметр выступов  $d_{\text{в}}$  (рис. 1) определится из уравнений (2) и (3), при  $\varphi=\varphi_1$ . Диаметр окружности впадин найдем из простого соотношения

$$D_{\text{в}} = D_{\text{г}} + 2(a_{\omega} + D_{\text{ш}}).$$

Диаметры обоймы ( $D_0$  – наружный и  $d_0$  – внутренний), выбираются из условия обеспечения контакта генератора с шариками в начале и в конце зацепления, соответственно:

$$D_0 \geq 2\sqrt{Y^2(\varphi_0) + 0,25D_{\text{ш}}^2};$$

$$d_0 \leq 2\sqrt{Y^2(\varphi_1) + 0,25D_{\text{ш}}^2}.$$

При этом должны быть выполнены условия, чтобы наружный диаметр обоймы был меньше диаметра выступов зубчатого венца жесткого колеса, а наружный диаметр эксцентрика не касался внутреннего диаметра обоймы, т. е.

$$D_0 \leq d_{\text{в}}; \quad d_0 \geq D_{\text{г}} + 2a_{\omega}.$$

Полученные выше соотношения относятся к идеальной ВППТК. Далее рассмотрим изменения в работе передачи, обусловленные отклонениями параметров от идеально точных. При реальном проектировании механизма необходимо точно знать круг параметров, значения которых могут отклоняться от заданных, диапазоны этих отклонений, возможность управлять ими, а также определить чувствительность выходной функции к отклонениям, входящих в неё параметров.

В линейной постановке задача определения чувствительности обобщенной выходной функции  $Y(X_1, \dots, X_n)$  решается с помощью известной [5] зависимости

$$\begin{aligned} & Y(X_1 + \Delta X_1, \dots, X_n + \Delta X_n) = \\ & = Y(X_1, \dots, X_n) + \sum_{i=1}^n \frac{\partial Y(X_1, \dots, X_n)}{\partial X_i} \Delta X_i, \end{aligned}$$

где  $X_1, \dots, X_n$  – значения параметров;  $\Delta X_1, \dots, \Delta X_n$  – отклонения параметров.

Выходной функцией передачи является функция  $Y$ , определяемая из (1). Чувствительность  $Y$  к отклонениям  $a_{\omega}$  и  $R_{\Sigma}$  определим как частные производные по этим параметрам

$$\frac{\partial Y}{\partial a_{\omega}} = \cos \varphi - \frac{a_{\omega} \sin^2 \varphi}{\sqrt{R_{\Sigma}^2 - a_{\omega}^2 \sin^2 \varphi}}; \quad (5)$$

$$\frac{\partial Y}{\partial R_{\Sigma}} = \frac{R_{\Sigma}}{\sqrt{R_{\Sigma}^2 - a_{\omega}^2 \sin^2 \varphi}}. \quad (6)$$



$$Y + \frac{\partial Y}{\partial R_z} \Delta R_z + \frac{\partial Y}{\partial l} l + \frac{\partial Y}{\partial a_o} \Delta a_o \leq Y + \frac{\partial Y}{\partial \varphi} \Delta \varphi, \quad (11)$$

где  $\frac{\partial Y}{\partial \varphi} = -\frac{a_o \sin \varphi Y}{\sqrt{R_z^2 - a_o^2 \sin^2 \varphi}}$ , а остальные члены определены в (5)–(7).

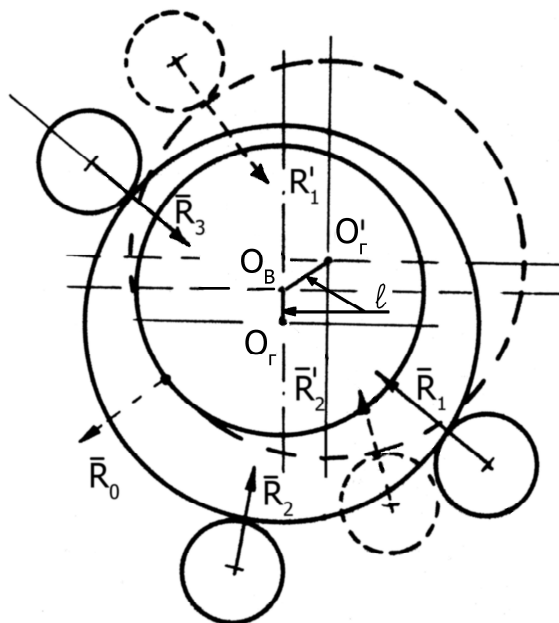


Рис. 5. Самоустановка генератора в ВППТК. Сплошная линия – на три шарика; штриховая на два шарика и опору генератора

Смысл (10) и (11) состоит в следующем. Их левая часть определяет положение центра шарика, которое задаётся генератором, а правая часть – зубчатым венцом жесткого колеса. При этом (10) выражает требование контакта в трёх произвольных зацеплениях, а (11) – требование зазора во всех остальных. Учитываются обе стороны профиля: «силовая», по которой шарик обкатывается, двигаясь вверх по пазу обоймы, и «кинематическая», по которой он обкатывается, двигаясь вниз по пазу. Для шариков, находящихся в контакте, должно выполняться условие, чтобы их реакции  $R_1, R_2, R_3$  уравновешивали генератор (рис. 5). Отсюда следует, что хотя бы один шарик будет в контакте с «кинематической» стороной профиля зуба.

Отклонение угла поворота выходного звена  $\Delta \varphi$  будет решением (10) и (11). Возможна ситуация, когда решение (10) будет таким, что значение  $l$  превысит величину зазора в подшипнике или посадке. Это означает, что коническое кольцо генератора касается под-

шипника или вал генератора касается опоры (рис. 5, штриховые линии). Тогда в контакте будут всего два шарика и выражение (10) составят два уравнения, а  $l$  необходимо приравнять к величине зазора. Генератор уравновешивают реакции от двух шариков  $R_1^i, R_2^i$  и реакция  $R_0$  в точке касания генератора опоры. В этом случае (7) следует преобразовать к виду

$$\frac{\partial Y}{\partial l} = \frac{R_z}{\sqrt{R_z^2 - a_o^2 \sin^2 \varphi}} \cos \left( \theta + \arctg \frac{a_o \sin \varphi}{\sqrt{R_z^2 - a_o^2 \sin^2 \varphi}} \right).$$

Значение угла  $\theta$  определяет положение точки касания, в которой будет приложена реакция опоры.

### Заключение

Рассмотрен алгоритм расчёта геометрических и конструктивных соотношений в волновых передачах с промежуточными телами качения, включая передачи с адаптивным, самоустанавливающимся генератором. Для расчёта последних передач была использована линейная методика учёта погрешностей, хотя в процессе анализа выявлены погрешности, имеющие порядок малости выше первого.

Полученный алгоритм расчёта волновых передач с промежуточными телами качения с адаптивным генератором существенно отличается от алгоритма расчёта передач с жестко фиксированным генератором. Адаптивная схема предполагает ряд новых варьируемых параметров для компенсации погрешностей изготовления деталей и монтажа при сборке. При этом не все возможные погрешности были учтены, например, предполагается, что профиль жесткого колеса выполнен без погрешности.

Значительно изменяется распределение усилий в волновых передачах с промежуточными телами качения с адаптивным генератором. Как показал анализ, самоустановка генератора приводит к частичной или даже полной разгрузке его опор. Поскольку, под нагрузкой оказывается «кинематическая» часть профиля, то создается дополнительный тормозящий момент. Отклонение угла поворота выходного звена от номинального – кинематическая погрешность передачи определяется по приведенной методике.

Полученные результаты позволяют продолжить работы по разработке методик расчёта нагрузок и относительных скоростей шарика в точках контакта его с генератором, обоймой и зубьями жесткого колеса, что должно обеспечить качественную разработку редукторов на стадии расчётов, включая и оценку долговечности.

### СПИСОК ЛИТЕРАТУРЫ

1. А.с. 212950 СССР. МКИ<sup>5</sup> F16H 1/00. Волновая передача / В.С. Янгулов. Заявлено 19.03.1984; Зарегистр. 27.12.1984.
2. А.с. 315418 СССР. МКИ<sup>5</sup> F16H 1/00. Волновая передача / В.С. Янгулов и др. Заявлено 20.01.1988; Зарегистр. 3.07.1990.
3. А.с. 317718 СССР. МКИ<sup>5</sup> F16H 1/00. Волновая передача / В.С. Янгулов и др. Заявлено 20.01.1988; Зарегистр. 3.09.1990.
4. Беляев А.Е. Механические передачи с промежуточными телами повышенной точности и долговечности. – Томск: ТПИ, 1986. – 60 с.
5. Бахвалов Н.С. Численные методы. Ч. 1. – М.: Наука, 1975. – 631 с.
6. Янгулов В.С. Прецизионный редуктор повышенной долговечности // Известия Томского политехнического университета. – 2007. – Т. 311. – № 2. – С. 18–23.

Поступила 26.12.2006 г.